

# Teorie systémů

Michal Šerý

Automatizace

1 Plán

2 Historie

3 Kybernetika

- Řídicí technika

4 Teoretické základy

5 Popis systémů

## 6 Ukázka

- Octave nebo Matlab; 1. řád
- Octave nebo Matlab; 2. řád

## 7 Regulace

## 8 Dravec - kořist

- Matematicko-Matlabovské intermezzo
- Ukázka řešení Lotka-Volterra rovnice

## 9 Regulace

## 10 Unifikované signály

## 11 Regulátory

## 12 Regulátor PID

## 13 Regulátor - pseudokód

- ON/OFF
- P
- I
- PI
- D
- PID

## 14 Příklad: Mechanický harmonický oscilátor

## 15 Přenos regulátoru

## 16 Příklad: OCTAVE

## 17 Přejchodová charakteristika

## 18 PLC

- Charakteristika
- Dělení PLC
- Vlastnosti PLC
- Metody programování PLC
  - IL - Instruction List
  - LD - Ladder Diagram
  - ST - Structured Text
  - CFC - Continuous Function Chart
  - FBD - Function Block Diagram
  - SFC - Sequential Function Chart

## 19 Blokové schéma PLC

## 20 PLC - zapojení do řídicího procesu

## 21 Běh programu PLC

## 22 Druhy regulace

## 23 Fuzzy

## 24 Akční členy řídicího obvodu

- Relé
- Stykač
- Relé
- Algebra blokových schémat

- Maticová algebra
- Booleovské řízení
- Fuzzy řízení
- Algebra blokových schémat
- Stability systému
- Vyšetřování stability
- Akční členy
  - ▶ SSR
  - ▶ Krokové motory
  - ▶ Servopohony

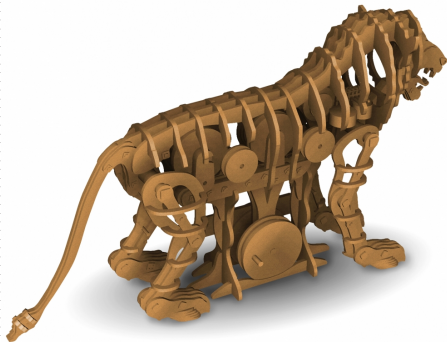
- Herón Alexandrijský - zvaný Méchanikos (1. století n.l. (ca 10 - 70))  
První umělé zázraky, které způsobovalo využití páry a teplého vzduchu v zařízení. Zařízení pracovala na principu teplovzdušného motoru, jehož princip popsal Herón v knize „Pneumatika“.



Ve středověku vznikaly různá mechanická zařízení - jejichž autory byli především hodináři.

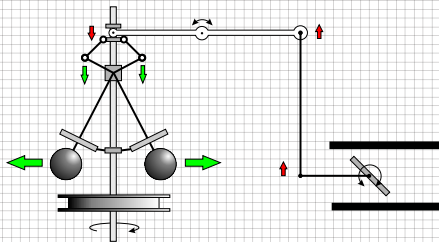
Vznikali hlavně různé mechanické hračky, orloje, zvonkohry atd. Tyto automaty již obsahovaly jednoduché programovací zařízení v podobě např. válce s kolíčky, kotouče s otvory, zářezy apod.

- Leonardo da Vinci (1452 - 1519)



**Obrázek:** Mechanický lev

- James Watt (1736 - 1819)



**Obrázek:** Wattův odstředivý regulátor

- Joseph Marie Jacquard (1752 - 1834) Jacquardův tkalcovský stav (kolem roku 1800), u kterého bylo již možno „naprogramovat“ vzor látky pomocí pásu s otvory, který procházel „čtecím zařízením“. Byl to předchůdce děrných štítků a děrné pásky.



- Claude Elwood Shannon (1916–2001)
- Norbert Wiener (1894-1964)

- Co je to KYBERNETIKA
- Dceřinné obory
- Co může tento předmět poskytnout
  - ▶ *všeobecný přehled* o fungování zkoumaných objektů
  - ▶ Zavede základní charakteristiky a principy vztahů mezi objekty
  - ▶ Metody zkoumání
  - ▶

- Zlepšuje přesnost a jakost
- Zvyšuje rychlost výrobního procesu
- Spoří energii a materiál
- Odstraňuje subjektivní chyby člověka
- Zvyšuje produktivitu práce
- Nahrazuje člověka v místech pro něj nebezpečných a kde jeho schopnosti již nestačí
- Realizuje monotónní operace

## Kybernetika

Z řeckého kybernētés (*κυβερνήτης*) - kormidelník. Je to vědní disciplína, která se zabývá obecnými principy řízení a přenosem a zpracováním **informací** ve strojích, živých organismech a společnostech.



## Kybernetika

Z řeckého kybernētés (*κυβερνήτης*) - kormidelník. Je to vědní disciplína, která se zabývá obecnými principy řízení a přenosem a zpracováním **informací** ve strojích, živých organismech a společnostech.

## Obory současné kybernetiky

- **Systemová teorie**: Stavové popisy, zpětné vazby, řízení, ...
- **Přenos informací**: Kanály, informační entropie, kryptování ...
- **Umělá inteligence**: Strojové vnímání a učení, robotika, ...
- **Biokybernetika**: Vazba člověk-stroj, náhrady orgánů ...

...

## Informace

V nejobecnějším smyslu je informace chápána jako údaj o reálném prostředí, o jeho stavu a procesech v něm probíhajících. Nosičem informace je nějaká fyzikální veličina - signál.

## Informace

V nejobecnějším smyslu je informace chápána jako údaj o reálném prostředí, o jeho stavu a procesech v něm probíhajících. Nosičem informace je nějaká fyzikální veličina - signál.

## Informace inženýrská

definovaná C. E. Shannonem jako „snížení neurčitosti systému“ a matematicky vyjádřená jako logaritmus pravděpodobnosti nějakého jevu (přenosu zprávy) při rovnoměrném rozložení hustoty pravděpodobnosti.

## Kauzalita

Následky nemohou předběhnout své příčiny, naopak se za svými příčinami opožďují.

Příčina  $\Rightarrow$  vztah  $\Rightarrow$  následek

## Řízení

Cílevědomé působení na řízený systém s tím záměrem, abychom dosáhli požadovaného stavu systému.

## Řízení

- Ovládání
- Regulace

## Řízení

- Ovládání
- Regulace

## Ovládání

- je řízení bez zpětné vazby. Lze ho použít u jednoduchých, dobře poznávaných procesů či objektů (jednoduché automatické pračky).

## Řízení

- Ovládání
- Regulace

## Ovládání

- je řízení bez zpětné vazby. Lze ho použít u jednoduchých, dobře poznaných procesů či objektů (jednoduché automatické pračky).

## Regulace

- je řízení se zpětnou vazbou. Umožňuje udržování určitých fyzikálních veličin na stanovených hodnotách. Při tom se v průběhu regulace zjišťují hodnoty těchto veličin a srovnávají se s hodnotami, které mají mít. Podle zjištěných odchylek, které jsou mírou přesnosti regulace, se zasahuje do regulovaného procesu tak, aby tyto odchylky byly udržovány na minimu.



## Ovládání

Ovládání spouští a odstavuje jedno či více zařízení, nebo provádí sled operací v určitém pořadí.

- Místní (elektrické nářadí, kotoučová pila, soustruh, bruska)
- Dálkové (ovládání z velína, výkonové vypínače, HDO)
- Automatické (například čerpání z jímky)
- Programové (automatická pračka, automatický start zařízení)

# Entropie/Informace

## Příběh

C. E. Shannon zavedl vztah a přemýšlel jak svou veličinu pojmenovat. Tehdy mu John von Neuman údajně řekl:

„You should call it entropy, for two reasons. In the first place your uncertainty function has been used in statistical mechanics under that name, so it already has a name. In the second place, and more important, no one really knows what entropy really is, so in a debate you will always have the advantage.“

Pokud jde o tu vaši funkci neurčitosti, doporučoval bych vám nazývat ji entropie. Ze dvou důvodů. Jednak se ve statistické fyzice definuje stejným způsobem a druhá nikdo pořádně neví, co to vlastně je. Kdoví, jestli ta vaše entropie a entropie termodynamická nejsou jedno a totéž.? „ . . . nikdo opravdu neví, co entropie skutečně je, tak v diskusi, budete mít vždy výhodu.“

Tak vznikl (dříve v termodynamice) v informační teorii pojem ENTROPIE.

## Matemicky vyjádřeno

$$I = -Kn \sum_{i=1}^s P_i \ln P_i$$

$I$  ... informace (celkové množství informace ve zprávě)

$K$  ... konstanta

$n$  ... délka zprávy

$s$  ... počet znaků abecedy

$P_i$  ... pravděpodobnost výskytu  $i$ -tého znaku abecedy

## Informační entropie

$$H = \frac{I}{n} = -K \sum_{i=1}^s P_i \ln P_i$$

$H$  ... informační entropie (střední hodnota informace na jeden symbol zprávy)

## Konstanta $K$

Například pro nejjednodušší abecedu o dvou znacích (například 0;1), pravděpodobnost výskytu znaků je stejná ( $P=0,5$ ), položíme-li  $H = 1$ , potom

$$H = -K(0,5 \ln 0,5 + 0,5 \ln 0,5) = 1$$

$$H = -K(-\ln 2) = 1 \Rightarrow K = \frac{1}{\ln 2}$$

Potom informaci měříme v **bitech** (z anglického **binary digit**)

Zakladatelem obecné teorie systémů je považován rakouský biolog **Ludwig von Bertalanfy**.

Vychází z teorie, že každý objekt je tvořen souborem komponent a vazeb mezi nimi. Tato vazby (interakce) mají pro výsledné chování zásadní význam a díky nim celek vykazuje vlastnosti, které neplynou z analýzy vlastností jednotlivých částí.

**Obecná teorie systémů** se zabývá metodami, nástroji, principy, problémy, popisy a technikami týkajícími se systémů.

Základní pojmy: systém, systémový přístup, teorie systémů, systémové aplikace (kybernetika).

**Definice pojmu systém:**

- je daná množina prvků, spolu s množinou vazeb, mezi prvky navzájem a s okolím (definice užívaná v kybernetice)
- je daná množina stavů spolu s množinou přechodů mezi nimi

**Dynamický systém:** systém jehož výstup (stav) je závislý nejen na okamžitých hodnotách vstupů (a jejich derivací) nýbrž i na předcházejících hodnotách vstupů a stavů (hloubka paměti).



**Metodický postup:** Metodický postup, který upravuje pravidla daných činností tak, aby bylo dosaženo určitého cíle s minimem ztrát (maximem zisků).

Pradávná zásada českých inženýrů 4N: **Nikdy Na Nic Nezapomeň!!!**  
podle typu veličin

Soubor definic, axiomů, vět, pravidel, nástrojů na vysokém stupni abstrakce, umožňující pracovat s pojmy potřebnými pro popis a řešení daného problému.

často používané pomocné disciplíny:

- matematika, včetně numerického a grafického zpracování veličin
- modelování – simulace
- počítačový experiment

$$S = \{P; R; U; Y\}$$

- P – množina prvků
- R – množina relací
- U – množina vstupů
- Y – množina výstupů

## Abstrakce

Vytvoření teoretického modelu k reálnému objektu. Dělá to pozorovatel.

## Pozorovatel

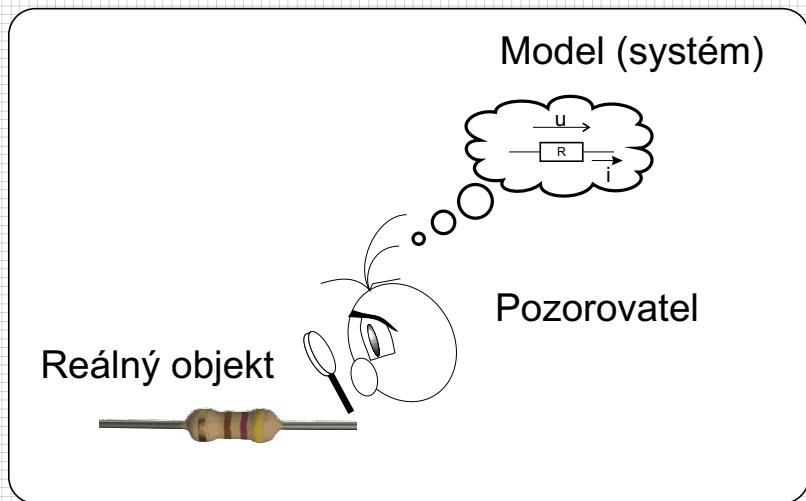
Tvůrce modelu

## Určení systému

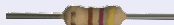
Pozorovatel definuje abstraktní systém vymezením:

- důležitých veličin reálného systému a jejich vzájemných vztahů
- hranici systému
- ostatní veličiny/vztahy tvořící okolí systému
- určíme, které veličiny jsou vstupní a výstupní, definujeme **orientaci** systému

## Vznik modelu



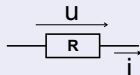
## Realny system S



Má  $\infty$  mnoho entit (napětí, tvrdost, teplota, proud, výška, odpor, ...)

Má  $\infty$  mnoho vztahů

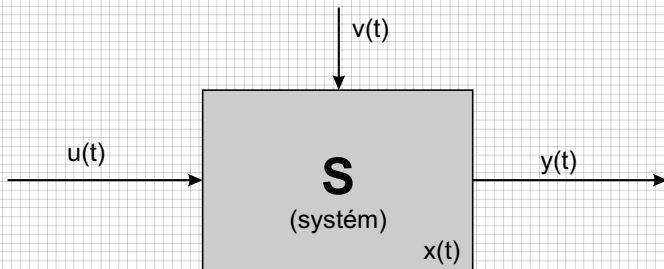
## Abstraktní systém S'



Má konečný počet entit (napětí, proud, odpor)

Má konečný počet vztahů  $U = R \cdot I$

Abstraktní systém **S'** je jistým **modelem** (matematickým) fyzického systému **S**. Model umožňuje *předpovídat* chování reálného systému.



**Obrázek:** Model systému

$u(t)$  ... vstupní veličiny  
 $y(t)$  ... výstupní veličiny  
 $x(t)$  ... stavové veličiny  
 $v(t)$  ... poruchové veličiny



OTS rozlišuje systémy podle úrovně detailu jejich popisu.

- **Zdrojový systém:** vyjmenovává veličiny a jejich interagující podmnožinu - např. veličiny  $U, I, R$ , interakce  $\{\{U, I, R\}\}$  (Je daná množina veličin, definovaných (uvažovaných) na určité rozlišovací úrovni)
- **Datový systém:** zdrojový systém + empirické hodnoty - např.  
 $U: 25 \text{ V}, 15 \text{ V}, 10 \text{ V}$   
 $R: 5 \text{ k}\Omega, 5 \text{ k}\Omega, 5 \text{ k}\Omega$   
 $I: 5 \text{ mA}, 3 \text{ mA}, 2 \text{ mA}$   
(Je dán souborem variací určitých veličin v čase)
- **Generativní systém:** veličiny + vztahy mezi nimi  $\Rightarrow$  umožňuje generovat datový systém (Je časový vztah mezi minulými, současnými a budoucími hodnotami jistých veličin)
- **Strukturní systém:** je určena struktura systému, jeho podsystémy a vazby mezi nimi

Každý typ systému nese **informaci navíc** oproti předchozímu typu.

Obvyklý úkol v technické kybernetice je nalezení vhodného řízení, tj. působení na řízený objekt tak, aby bylo dosaženo požadovaných cílů.

- Stanovení cíle úlohy a výchozích (dostupných) informací
- Volba metody popisu systému a metody řešení dané úlohy (volba modelu systému)
- Definice proměnných, určení hodnot parametrů - identifikace
- Analýza vlastností systému (obvykle včetně linearizace)
- Syntéza (za účelem změny vlastností systému)

K čemu speciální systémová věda?

**Nestačí zkoumat pouze jednotlivé komponenty samostatně?**

Ne. Systém je „více“ než souhrn jeho částí. Struktura vzájemných vazeb má obrovský vliv na výsledné chování.

K čemu speciální systémová věda?

## Nestačí zkoumat pouze jednotlivé komponenty samostatně?

Ne. Systém je „více“ než souhrn jeho částí. Struktura vzájemných vazeb má obrovský vliv na výsledné chování.

## Příklady: Model neuronu

Umí počítat  $\phi(\sum_{ij} w_{ij} x_{ij})$  - nelineární funkce váženého součtu vstupů



Propojení velkého množství neuronů



Neuronová síť (umělá) - umí se „učit“

Myšlenka umělých neuronových sítí vznikla na podkladě výzkumu mozku, kde nejdříve pomocí umělých neuronových sítí se vědci snažili modelovat procesy, které probíhají v našem mozku. Posléze se neuronové sítě rozšířily do mnoha oborů technické praxe. Základním prvkem mozku je neuron, do něhož vstupuje velký počet vstupů-dendritů a vystupuje pouze jeden výstup - axon, který se ovšem může dále rozvětvovat do tzv. terminálů. Ty se připojují na dendrity pomocí synapsí. Na základě tohoto biologického popisu byl definován tzv. formální neuron, který tvoří výkonný prvek umělé neuronové sítě. Obecně neuron můžeme popsat podle tohoto vztahu:

$$o = \phi\left(\sum_j w_j i_j + \theta\right)$$

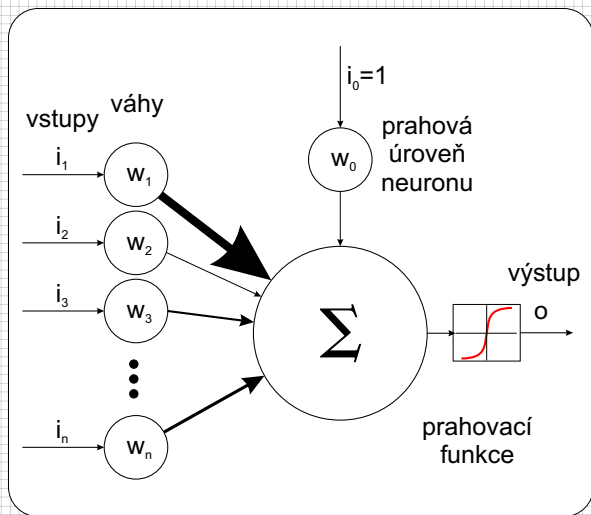
$o$  ... výstup

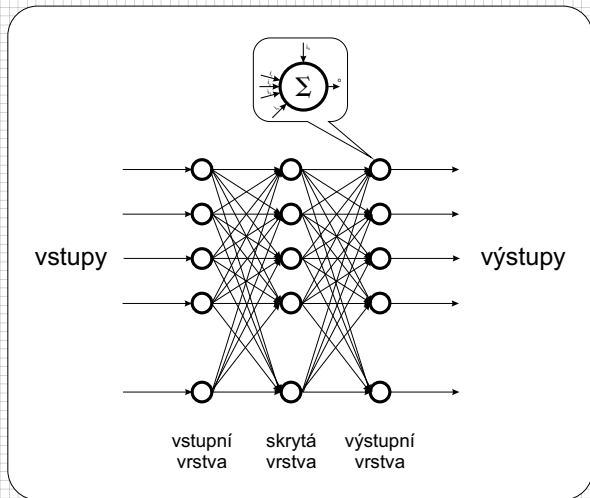
$i_j$  ... vstupní veličiny ( $n$ )

$w_j$  ... váhy

$\theta$  ... práh neuronu

$\phi$  ... nelineární prahovací funkce







- Podle počtu vstupů a výstupů
  - ▶ SISO (Single Input Single Output)
  - ▶ MIMO (Multi Input Multi Output)

- Podle počtu vstupů a výstupů
  - ▶ SISO (Single Input Single Output)
  - ▶ MIMO (Multi Input Multi Output)
- Podle interakce s okolím
  - ▶ Uzavřené (volné) - neřízené (Nedochází k výměně energie s okolím)
  - ▶ Otevřené - řízené (Dochází k výměně energie s okolím)

- Podle počtu vstupů a výstupů
  - ▶ SISO (Single Input Single Output)
  - ▶ MIMO (Multi Input Multi Output)
- Podle interakce s okolím
  - ▶ Uzavřené (volné) - neřízené (Nedochází k výměně energie s okolím)
  - ▶ Otevřené - řízené (Dochází k výměně energie s okolím)
- Podle vztahu jednotlivých veličin
  - ▶ Lineární
  - ▶ Nelineární

- Podle počtu vstupů a výstupů
  - ▶ SISO (Single Input Single Output)
  - ▶ MIMO (Multi Input Multi Output)
- Podle interakce s okolím
  - ▶ Uzavřené (volné) - neřízené (Nedochází k výměně energie s okolím)
  - ▶ Otevřené - řízené (Dochází k výměně energie s okolím)
- Podle vztahu jednotlivých veličin
  - ▶ Lineární
  - ▶ Nelineární
- Podle typu veličin
  - ▶ Spojité
  - ▶ Diskrétní (v amplitudě, čase)
  - ▶ Kvazispojité (pseudospojité, hybridní) např. PWM



- Podle přítomnosti paměti
  - ▶ Statické (kombinační) - nemají paměť  $\Rightarrow$  výstup závisí pouze na vstupu
  - ▶ Dynamické (sekvenční) - mají paměť  $\Rightarrow$  výstup závisí na vstupu a stavu (předchozích hodnotách)
- Podle charakteru veličin
  - ▶ Deterministické
  - ▶ Stochastické (pravděpodobnostní)

- Podle přítomnosti paměti
  - ▶ Statické (kombinační) - nemají paměť  $\Rightarrow$  výstup závisí pouze na vstupu
  - ▶ Dynamické (sekvenční) - mají paměť  $\Rightarrow$  výstup závisí na vstupu a stavu (předchozích hodnotách)
- Podle charakteru veličin
  - ▶ Deterministické
  - ▶ Stochastické (pravděpodobnostní)
- Podle chování v čase
  - ▶ Časově invariantní (nemění se parametry v čase)
  - ▶ Časově proměnné (mění se parametry v čase např.: opotřebení)

Obvyklý úkol v technické kybernetice je nalezení vhodného řízení, tj. působení na řízený objekt tak, aby bylo dosaženo požadovaných cílů.

## Postup

- Rozbor úlohy a výchozích (dostupných) informací
- Volba metody popisu systému a metody řešení dané úlohy (volba modelu systému)
- Definice proměnných, určení hodnot parametrů - identifikace
- Analýza vlastností systému (obvykle včetně linearizace)
- Syntéza (za účelem změny chování systému)



Je definován množinami a zobrazeními:

Jsou dány množiny:

Je definován množinami a zobrazeními:

Jsou dány množiny:

- množina časových okamžiků  $t \in T$

Je definován množinami a zobrazeními:

Jsou dány množiny:

- množina časových okamžiků  $t \in T$
- množina stavů  $x(t) \in X$

Je definován množinami a zobrazeními:

Jsou dány množiny:

- množina časových okamžiků  $t \in T$
- množina stavů  $x(t) \in X$
- množina okamžitých hodnot vstupních funkcí  $u(t) \in U$

Je definován množinami a zobrazeními:

Jsou dány množiny:

- množina časových okamžiků  $t \in T$
- množina stavů  $x(t) \in X$
- množina okamžitých hodnot vstupních funkcí  $u(t) \in U$
- množina přípustných vstupních funkcí (signálů)  $\mathcal{U} = u(t) : T \rightarrow U$

- Vnější popis - vyjádřuje vztah mezi vnějšími veličinami  $[y(t);u(t)]$ 
  - ▶ Diferenciální rovnice
  - ▶ Přenos v Laplaceově transformaci
  - ▶ Nuly a póly systému
  - ▶ Impulzní charakteristika
  - ▶ Přechodová charakteristika
  - ▶ Frekvenční přenos
  - ▶ Frekvenční charakteristiky
  - ▶ Odezva na libovolný signál
- Vnitřní popis
  - ▶ Stavové rovnice

## Diferenciální rovnice

Relaci mezi vstupem a výstupem hladkého spojitého systému můžeme obecně vyjádřit ve tvaru

$$F(y, \dot{y}, \dots, y^{(n)}, u, \dot{u}, \dots, u^{(m)}) = 0.$$

Pro lineární systém lze psát

$$a_n(t)y^{(n)} + \dots + a_0(t)y(t) = b_m(t)u^{(m)} + \dots + b_0(t)u(t).$$

Pro stacionární systém jsou koeficienty  $a_i$  a  $b_j = \text{konst.}$

Je-li  $n \geq m$  nazýváme systém **ryzí** nebo **fyzikálně realizovatelný**.

LTI ... lineární stacionární (t-invariantní) systém

$$\begin{aligned} a_n \frac{d^n y(t)}{dt^n} + a_{(n-1)} \frac{d^{(n-1)} y(t)}{dt^{(n-1)}} + \dots + a_1 \frac{dy(t)}{dt} + a_0 y(t) \\ = b_m \frac{d^m u(t)}{dt^m} + b_{(m-1)} \frac{d^{(m-1)} u(t)}{dt^{(m-1)}} + \dots + b_1 \frac{du(t)}{dt} + b_0 u(t) \end{aligned}$$



## Přenos v Laplaceově transformaci

Je-li systém stacionární a předpokládáme-li nulové počáteční podmínky, lze provést Laplaceovu transformaci diferenciální rovnice systému. Potom L-obraz výstupu ku L-obrazu vstupu při nulových počátečních podmínkách nazýváme **přenos systému**.

$$G(s) = \frac{\mathcal{L}\{u_2(t)\}}{\mathcal{L}\{u_1(t)\}} = \frac{\mathcal{L}\{y(t)\}}{\mathcal{L}\{u(t)\}} = \frac{Y(s)}{U(s)} = \frac{b_m s^m + \dots + b_1 s + b_0}{a_n s^n + \dots + a_1 s + a_0}$$

## Póly a nuly systému

$$G(s) = \frac{b(s)}{a(s)}$$

$$a(s) = a_n s^{(n)} + \dots + a_1 s + a_0 = a_n (s - p_n)(s - p_{n-1}) \dots (s - p_1)$$

$$b(s) = b_m s^{(m)} + \dots + b_1 s + b_0 = b_m (s - n_m)(s - n_{m-1}) \dots (s - n_1)$$

Kořeny  $p_i$  polynomu  $a(s)$  se nazývají **póly přenosu systému** a kořeny  $n_i$  polynomu  $b(s)$  se nazývají **nuly přenosu systému**.

## Impulsní charakteristika - $g(t)$

Jedná se o odezvu systému na Diracův impuls  $u(t) = \delta(t)$ . Protože

$$\mathcal{L}\{\delta(t)\} = 1$$

a

$$Y(s) = G(s)U(s) = G(s)$$

tedy

$$g(t) = \mathcal{L}^{-1}\{G(s)\}$$

## Přechodová charakteristika - $h(t)$

Jedná se o odezvu systému na jednotkový skok  $u(t) = \mathbb{1}(t)$ . Protože

$$\mathcal{L}\{\mathbb{1}(t)\} = \frac{1}{s}$$

a

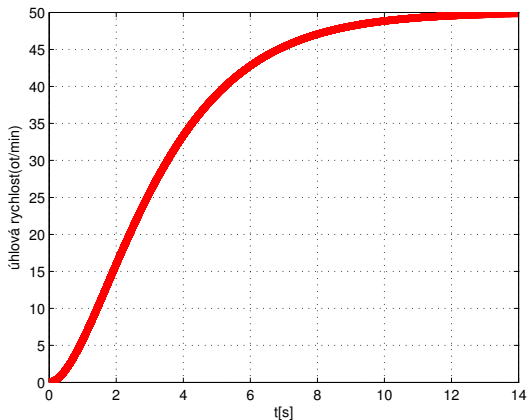
$$H(s) = G(s) \frac{1}{s}$$

tedy

$$h(t) = \mathcal{L}^{-1}\left\{G(s) \frac{1}{s}\right\}$$

Příklad: Zapneme motor se jmenovitými otáčkami 50 ot/min.

Náběh otáček v čase



## Frekvenční přenos

Jedná se o ustálenou odezvu lineárního stacionárního systému na harmonický vstupní signál.

Nebo Fourierův obraz výstupní veličiny ku Fourierovu obrazu vstupní veličiny.

Lze ho také získat formálně z Laplaceova přenosu v bodě  $s = j\omega$ .

$$F(j\omega) = G(s)|_{s=j\omega} = \frac{b_m(j\omega)^{(m)} + \dots + b_1(j\omega) + b_0}{a_n(j\omega)^{(n)} + \dots + a_1(j\omega) + a_0}$$

Jsou-li obě funkce  $u(t)$  a  $y(t)$  absolutně integrovatelné, existují jejich Fourierovy obrazy  $U(j\omega)$  a  $Y(j\omega)$  a potom platí

$$F(j\omega) = \frac{Y(j\omega)}{U(j\omega)}$$

## Frekvenční charakteristiky

- je buď grafické zobrazení frekvenčního přenosu v komplexní rovině (Nyquistova charakteristika).

$$F(j\omega) = \Re F(\omega) + j\Im F(\omega)$$

Nebo v polárních souřadnicích

$$F(j\omega) = |F(j\omega)|e^{j \arg F(j\omega)}$$

Nejčastěji se používají v logaritmických souřadnicích  $\log |F(j\omega)|$  a  $\arg |F(j\omega)|$  na  $\log(\omega)$  (Bodeho charakteristika), kde je možné amplitudovou a fázovou charakteristiku dobře aproximovat přímkovými asymptotami.



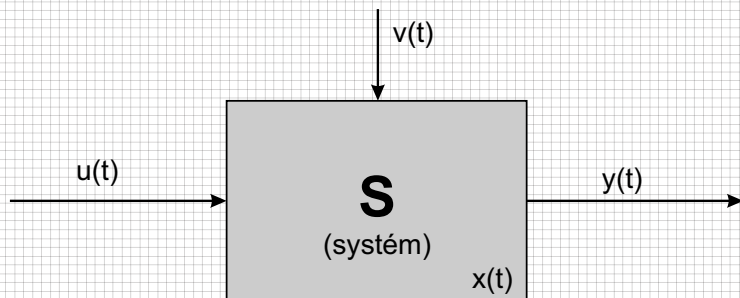
## Vnitřní popis

Vyjadřuje relaci {vstup  $\rightarrow$  stav  $\rightarrow$  výstup}, popsanou přechodovou funkcí stavu  $\varphi(x, u, t, \tau)$  a výstupní funkcí  $g(x, u, t)$ .

Pro LTI systém

$$\dot{x} = \mathbb{A}x + \mathbb{B}u$$

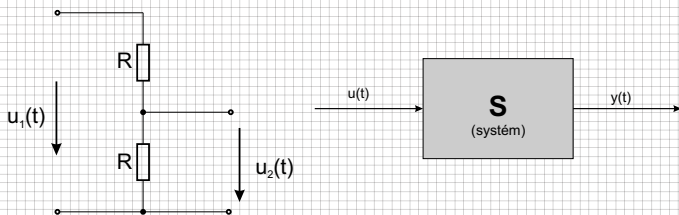
$$y = \mathbb{C}x + \mathbb{D}u$$



**Obrázek:** Model systému

$u(t)$  ... vstupní veličiny  
 $y(t)$  ... výstupní veličiny  
 $x(t)$  ... stavové veličiny  
 $v(t)$  ... poruchové veličiny

## Příklad: Systém 0. řádu



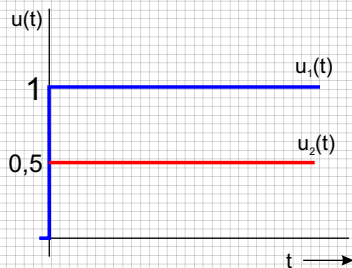
$$u_2(t) = \frac{R}{R + R} u_1(t) = \frac{1}{2} u_1(t)$$

Přenos:

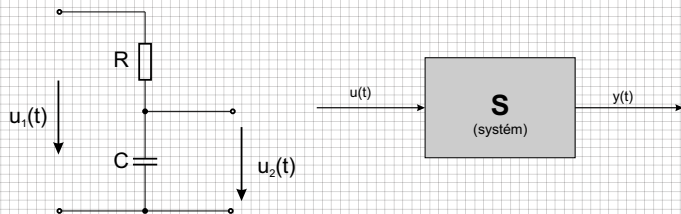
$$G(p) = \frac{\mathcal{L}\{u_2(t)\}}{\mathcal{L}\{u_1(t)\}} = \frac{U_2(p)}{U_1(p)} = 0,5$$

Pro jednotkový skok:

$$Y(p) = G(p)U(p) = 0,5 \frac{1}{p}$$



## Příklad: Systém 1. řádu



$$u_2(t) = u_C(t) = \frac{1}{C} \int i_C(t) dt \Rightarrow U_2(p) = U_C(p) = \frac{1}{pC} I(p)$$

$$U_2(p) = \frac{Z_C}{R + Z_C} U_1(p) = \frac{\frac{1}{pC}}{R + \frac{1}{pC}} U_1(p) = \frac{1}{1 + pRC} U_1(p)$$

Přenos:

$$G(p) = \frac{\mathcal{L}\{u_2(t)\}}{\mathcal{L}\{u_1(t)\}} = \frac{U_2(p)}{U_1(p)} = \frac{1}{1 + pRC}$$

## Příklad: Systém 1. řádu

Pól přenosu:

$$1 + pRC = 0 \Rightarrow p_1 = -\frac{1}{RC}$$

Časová konstanta:

$$\tau_1 = -\frac{1}{p_1} = RC$$

Pro jednotkový skok:

$$Y(p) = G(p)U(p) = \frac{1}{(1 + pRC)} \frac{1}{p} = \frac{1}{p(1 + pRC)} = U_2(p)$$

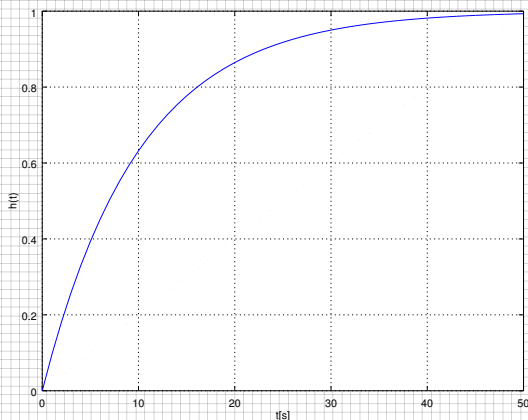
Odezva v časové oblasti:

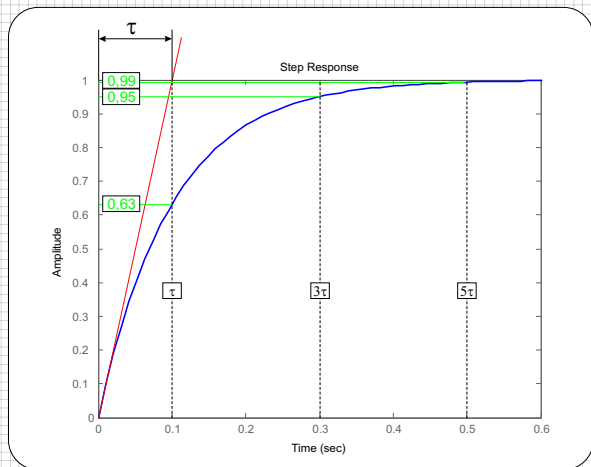
$$u_2(t) = (1 - e^{-\tau t})u_1(t)$$

$$G(p) = \frac{\mathcal{L}\{u_2(t)\}}{\mathcal{L}\{u_1(t)\}} = \frac{U_2(p)}{U_1(p)} = \frac{1}{1 + 10p}$$

Matlab:

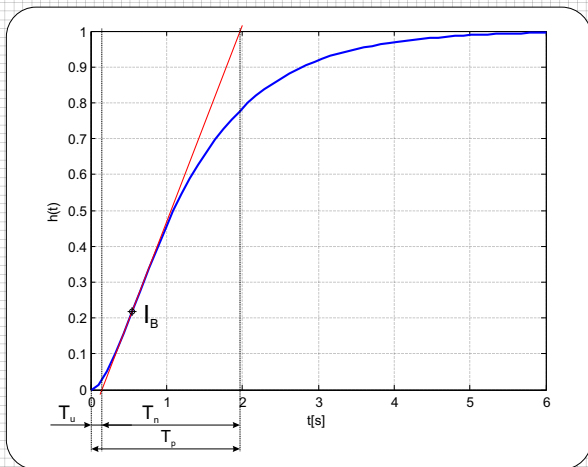
```
G=tf(1,[10 1]);  
[h,time]=step(G);  
plot(time,h)  
grid on  
xlabel('t[s]')  
ylabel('h(t)')
```







$T_n$  doba náběhu  
 $T_u$  doba průtahu  
 $T_p$  doba přechodu  
 $I_B$  inflexní bod

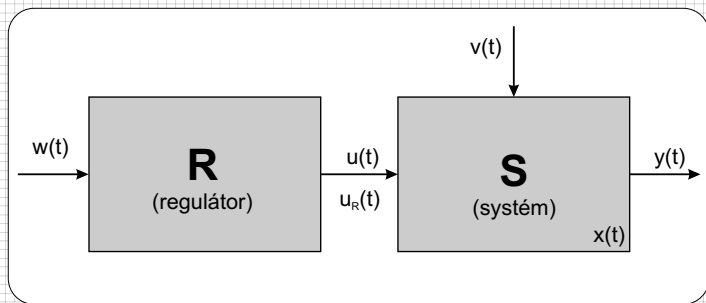


# Řízení

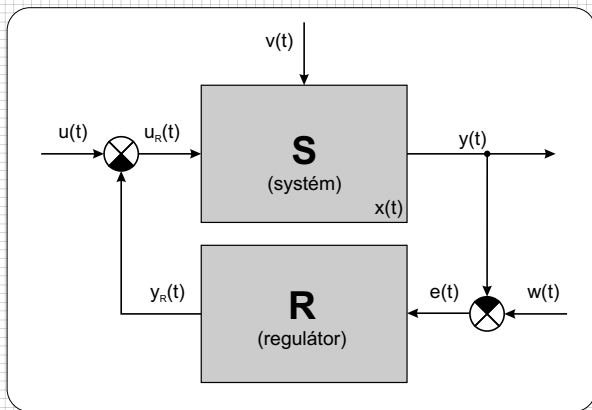
Energie potřebná na udržení systému mimo rovnovážný stav často roste se vzdáleností od rovnovážného stavu.

(příkladem budiž Sisyfos)

Změna stavu systému ve společnosti - musí se dělat pozvolně, jinak hrozí překmit "na druhou stranu".



**Obrázek:** Blokové schéma ovládání

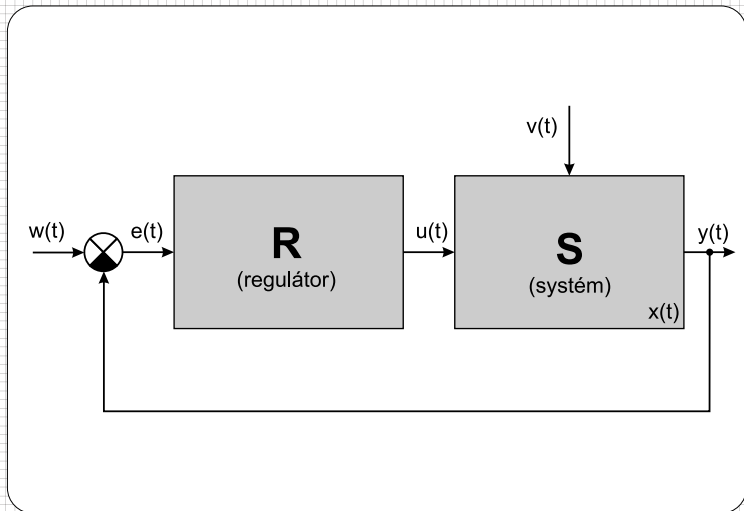


$$e(t) = w(t) - y(t)$$

$$u_R(t) = u(t) - y_R(t)$$

**Obrázek:** Blokové schéma regulace

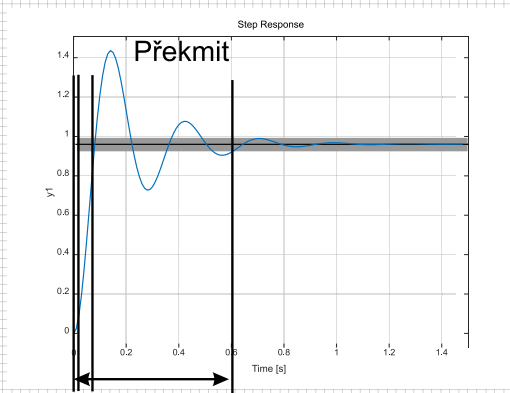
## Regulační obvod - jiná varianta



**Obrázek:** Blokové schéma regulace

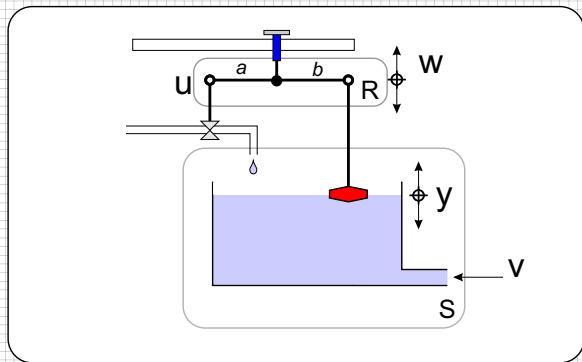
|                        |                                  |
|------------------------|----------------------------------|
| <b>OL - open loop</b>  | <b>OS - otevřená smyčka</b>      |
| <b>CL - close loop</b> | <b>US - uzavřená smyčka</b>      |
| <b>CL RESPONSE</b>     | <b>CL odezva</b>                 |
| <b>RISE TIME</b>       | <b>Doba náběhu</b>               |
| <b>OVERSHOOT</b>       | <b>Překmit</b>                   |
| <b>SETTLING TIME</b>   | <b>Doba ustálení</b>             |
| <b>S-S ERROR</b>       | <b>Odchylka ustáleného stavu</b> |

## Doba náběhu



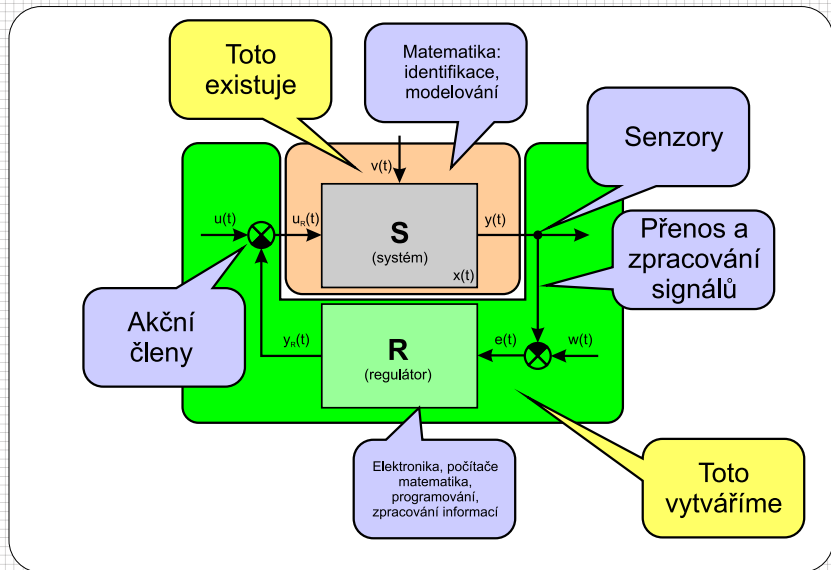
**Obrázek:** Význam některých pojmů





**Obrázek:** Splachovadlo

# Rozbor problematiky řídicí úlohy



$A(t)$  ... velikost populace kořisti v čase  $t$

$B(t)$  ... velikost populace dravců v čase  $t$

Pokud nejsou predátoři předpokládejme, že prostředí umožňuje exponenciální růst populace kořisti (králíci Fibbonaci, Austrálie) tzn.:

$$\frac{dA}{dt} = rA(t).$$

Pokud není kořist předpokládejme, že populace dravců klesá také exponenciálně tzn.:  $\frac{dB}{dt} = -\delta B(t)$ .

Interakce mezi predátorem a kořistí je dána vztahem  $AB$  a koeficientem „úspěšnosti“, který na populaci predátorů má pozitivní vliv a označíme si ho  $\beta$  a na populaci kořisti má vliv negativní a označíme si ho jako  $\alpha$ .

$$\frac{dA}{dt} = rA(t) - \alpha AB$$
$$\frac{dB}{dt} = -\delta B(t) + \beta AB$$

$$\frac{dA}{dt} = rA(t)$$

odpovídá

$$\frac{dx}{dt} = 2tx(t)$$

například při počáteční podmínce:

$$x(0) = 1$$

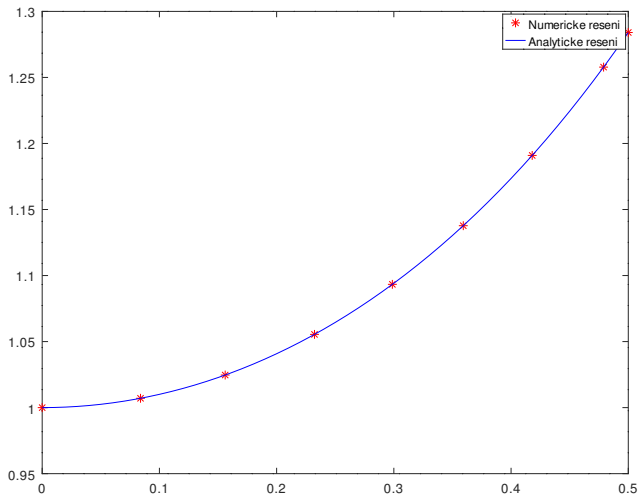
## Soubor dfdt.m

```
1 function deriv_val = dfdt(t,x)
2 % Diferenciální rovnice
3 %   dx/dt = 2*t*x;
4 deriv_val = 2*t*x;
```

# Řešení jednoduché dif. rovnice

```
1 % Jednoduchý příklad řešení v OCTAVE
2 %   dx/dt = 2*x*t,   x(0) = 1
3 % analytické řešení x(t) = exp(t^2).
4
5 % Řešitel dif. rovnic ode45 vygeneruje vektor t a x hodnot:
6 %
7 % [t,x]=ode45(@function_file_name, [start_time, end_time], initial_value)
8 % pozn.: "@" Musí být pře názvem souboru řešené funkce (a bez ".m")
9 options=odeset('AbsTol',1.e-12,'RelTol',1.e-9,'InitialStep',2,'MaxStep',2);
10 [t,x] = ode45(@dfdt,[0,0.5],1,options);
11 % graf numerické aproximace (červené body '*'):
12 plot(t,x,'r*')
13 hold on % fixace obrázku
14 % Analytické řešení - výpočet
15 tvals = [0:0.01:0.5];
16 true_solution = exp(tvals.^2);
17 % graf anal. řešení modrý
18 plot(tvals,true_solution,'b');
19 % Legenda
20 legend('Numerické řešení','Analytické řešení')
```

# Porovnání analytického a numerického řešení dif. rovnice





$$\frac{dA}{dt} = rA(t) - \alpha AB$$

$$\frac{dB}{dt} = -\delta B(t) + \beta AB$$

možno upravit do vektorového tvaru:

$$\mathbf{x} = \begin{bmatrix} A \\ B \end{bmatrix} \quad \text{nebo} \quad \mathbf{x}(t) = \begin{bmatrix} A(t) \\ B(t) \end{bmatrix}$$

$$\begin{bmatrix} \frac{dA}{dt} \\ \frac{dB}{dt} \end{bmatrix} = \begin{bmatrix} rA(t) - \alpha AB \\ -\delta B(t) + \beta AB \end{bmatrix}$$

nebo:

$$\frac{dx}{dt} = \begin{bmatrix} rx_1(t) - \alpha x_1 x_2 \\ -\delta x_2(t) + \beta x_1 x_2 \end{bmatrix}$$

$$\frac{dA}{dt} = rA(t) - \alpha AB$$

$$\frac{dB}{dt} = -\delta B(t) + \beta AB$$

koeficienty:

$$r = 10 \quad \alpha = 1.2$$

$$\delta = 4 \quad \beta = 0.9$$

počáteční podmínky:

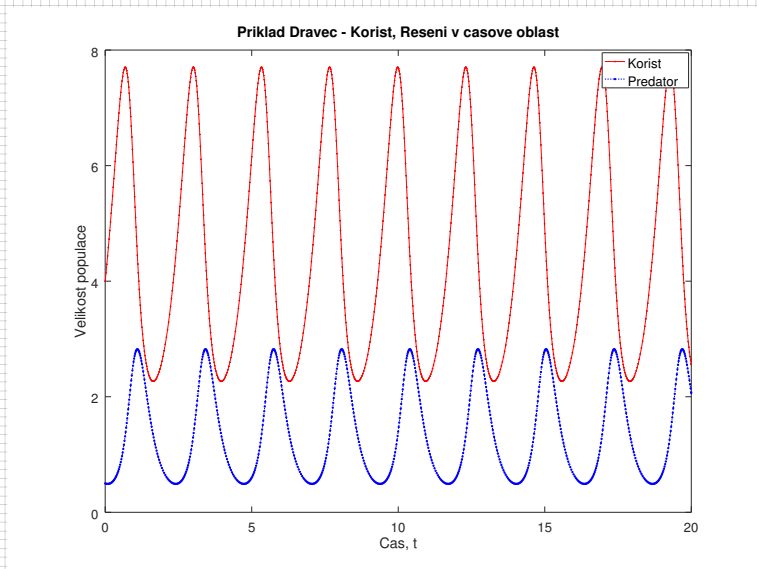
$$A(0) = 4 \quad B(0) = 0.5$$

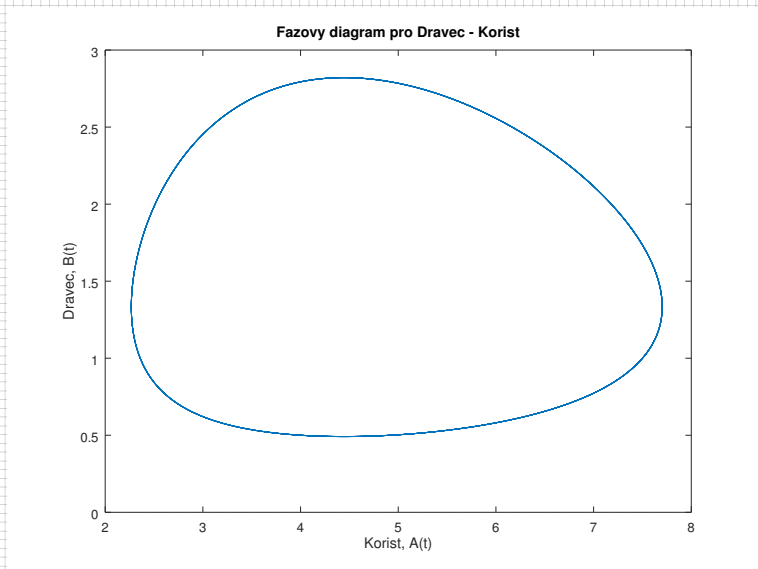
# Definice diferenciální rovnice D-K v jazyce Matlab (OCTAVE)

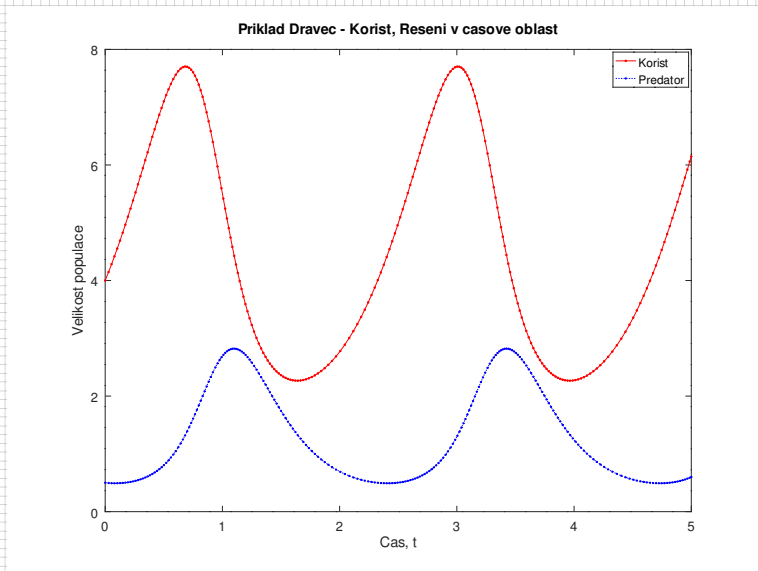
```
1 function deriv_vals = pred_prey_odes(t,x)
2 % Vypocet dif. rovnice:
3 %   dA/dt = myA A + myB A*B
4 %   dB/dt = myC B + myD A*B
5 myA=2;
6 myB=-1.5;
7 myC=-4;
8 myD=0.9;
9
10 deriv_vals = zeros(size(x));
11 % Calculate dA/dt, the first value in the deriv_vals vector. Remember A =
12 % x(1) and B = x(2).
13 deriv_vals(1) = myA*x(1) + myB*x(1).*x(2);
14 % Calculate dB/dt, the second value in the deriv_vals vector. Remember A =
15 % x(1) and B = x(2).
16 deriv_vals(2) = myC*x(2) + myD*x(1).*x(2);
```

# Definice diferenciální rovnice D-K v jazyce Matlab (OCTAVE)

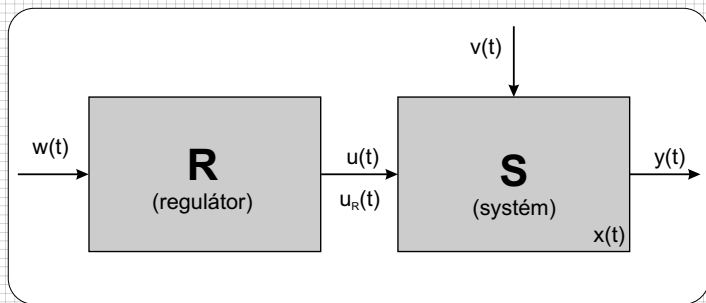
```
1 % Define initial and final times
2 t0 = 0;
3 tf = 20;
4 % Define initial values vector with A(0) = 4, and B(0) = 0.5
5 init_vals = [4; 0.5];
6 % Use ode45
7 options=odeset('AbsTol',1.e-12,'RelTol',1.e-9,'InitialStep',2,'MaxStep',2);
8 [t,x] = ode45(@pred_preyc_odes,[t0,tf],init_vals,options);
9 % Peel off our A(t) and B(t) values for easier reading and plotting:
10 A = x(:,1); % A is the first row of the x matrix, collecting all columns.
11 B = x(:,2); % B is the second row of the x matrix, collecting all columns
12 % Plot A(t) values in red with *'s, B(t) values in blue with circles.
13 plot(t,A,'r*-',"markersize", 1,t,B,'bo',"markersize", 1)
14 xlabel('Cas, t')
15 ylabel('Velikost populace')
16 title('Příklad Dravec - Korist, Reseni v casove oblasti')
17 legend('Korist','Predator')
18 % Plot the phase plane, A-values versus B-values
19 figure % This opens a new window for an additional plot
20 plot(A,B)
21 xlabel('Korist, A(t)')
22 ylabel('Dravec, B(t)')
23 title('Fazovy diagram pro Dravec - Korist')
```



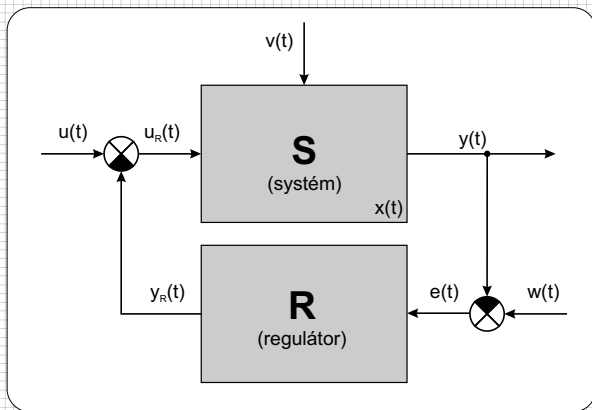








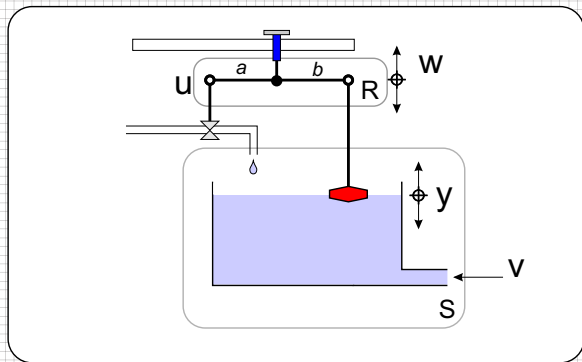
**Obrázek:** Blokové schéma ovládání



$$e(t) = w(t) - y(t)$$

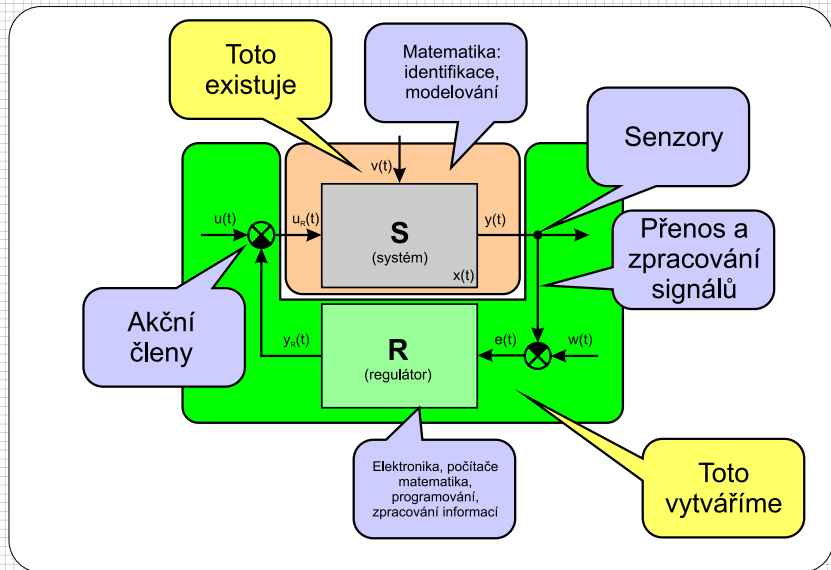
$$u_R(t) = u(t) - y_R(t)$$

**Obrázek:** Blokové schéma regulace



**Obrázek:** Splachovadlo

# Rozbor problematiky řídicí úlohy



## Napěťové

0 ÷ 1 V, -1 ÷ +1 V, 0 ÷ 5 V, -5 ÷ +5 V, 0 ÷ 10 V, -10 ÷ +10 V

## Proudové

0 ÷ 20 mA, 4 ÷ 20 mA v proudové smyčce.

## Logické

0 a 5 V, 0 a 12 V, 0 a 24 V, 12 a -12 V,

## Typy regulátorů

- dvojpohový
- třípohový
- spojitý
- diskrétní

## Složky regulátoru

- P roporcionální (P)
- I ntegrační (S umační)
- D erivační (D iferenciální)

Možné kombinace:

P; I; PI; PID; PD

$$u(t) = K_p e(t) + K_i \int e(t) dt + K_d \frac{de(t)}{dt}$$

po Laplaceově transformaci dostaneme rovnici:

$$K_p + \frac{K_i}{s} + K_d s = \frac{K_d s^2 + K_p s + K_i}{s}$$

- $K_p$  ... proporcionální zesílení
- $K_i$  ... integrační zesílení
- $K_d$  ... derivační zesílení



$$F_R(p) = \frac{Y_R(p)}{E(p)} = r_0 + r_d p + \frac{r_i}{p} = K_R \left( 1 + T_D p + \frac{1}{T_I p} \right)$$

Vznik PID regulátoru se datuje k roku 1890.

PID regulátory byly následně vyvinuty k automatickému řízení lodí.

Jeden z prvních příkladů regulátoru typu PID vyvinul Elmer Sperry v roce 1911, zatímco první teoretický rozbor PID regulátoru publikoval rusko-americký inženýr Nicolas Minorsky.

PID regulátory jsou široce průmyslově využívány. Odhaduje se, že až 95 % regulačních obvodů v průmyslu je realizováno PID regulátory.

Souhrn průzkumů provedených v několika průmyslových odvětvích během devadesátých let uvedený v *Yu, Ch. (1999), Autotuning of PID Controllers – Relay Feedback Approach, Springer Verlag* zmiňuje mimo jiné následující skutečnosti:

Z asi 2000 sledovaných regulačních obvodů v papírenském průmyslu jen 20 % pracovalo tak dobře, že automatická regulace vedla k menšímu kolísání regulované veličiny než ruční řízení.

Kvalita regulace v 30 % obvodů byla velmi bídná v důsledku špatného nastavení regulátorů a v dalších 30 % kvůli špatným vlastnostem regulačních ventilů.

V oblasti řízení chemických procesů nebylo 30 % smyček raději vůbec provozováno v automatickém režimu a bylo řízeno pouze ručně a ve 20 % byly v důsledku bezradnosti uživatelů, jak regulátor nastavit, ponechány původní hodnoty konstant, s nimiž byl regulátor dodán z výrobního závodu. V asi 30 % se opět objevily problémy v důsledku špatných vlastností regulačních ventilů.

Když navrhujete PID regulátor pro daný systém, postupujte podle níže uvedených kroků, abyste získali požadovanou odpověď.

Získejte odpověď s otevřenou smyčkou a zjistěte, co je třeba zlepšit. Přidejte proporcionální složku (zesílení) řízení ke zlepšení doby náběhu.

Chcete-li omezit překmit, přidejte derivační složku.

Přidejte integrační složku, abyste snížili chybu v ustáleném stavu.

Upravujte každý ze zisků  $K_p$ ,  $K_i$  a  $K_d$ , dokud nezískáte celkovou požadovanou odpověď.

Zvýšením proporcionálního zesílení  $K_p$  dosáhujeme toho, že při stejné úrovni regulační odchylky dostaneme větší řídicí signál.

Skutečnost, že regulátor bude silněji „působit“ při dané úrovni regulační odchylky má za následek, že systém uzavřené smyčky reaguje rychleji, ale také s větším překmitem.

Dalším efektem zvyšování  $K_p$  je, že má tendenci snižovat, ale ne eliminovat, regulační odchylku v ustáleném stavu.

Přidání derivační složky regulátoru ( $K_d$ ) dává regulátoru schopnost „předpovídat (anticipate)“ regulační odchylku. S jednoduchým proporcionálním řízením, je-li  $K_p$  konstantní, je jediným způsobem, jakým se vliv regulátoru zvýší, je případ, kdy se odchylka zvětší. Při derivační složce řízení může být řídicí signál větší, pokud se chyba začne snižovat, i když je velikost chyby stále relativně malá. Toto „předvídání“ má tendenci přidat do systému tlumení, čímž se snižuje překmit.

Přidání derivační složky však nemá žádný vliv na ustálený stav chyby.

Přidání integrční složky do regulátoru ( $K_i$ ) má tendenci pomoci snížit ustálený hodnotu odchylky. Pokud dojde ke stabilní regulační odchylce, integrátor se sumuje a sumuje, čímž zvyšuje řídicí signál a tím snižuje regulační odchylku. Nevýhodou integrční složky je však to, že může způsobit zpomalení odezvy (případě oscilace), protože když signál chyby změní znaménko, může chvíli trvat, než se integrátor vynuluje.

Obecné účinky každého parametru regulátoru ( $K_p$ ,  $K_d$ ,  $K_i$ ) na systém uzavřené smyčky jsou shrnuty v následující tabulce. Všimněte si, že tyto pokyny platí v mnoha případech, ale ne vždy. Pokud skutečně chcete znát efekt vyladění jednotlivých zisků, budete muset provést více analýz nebo bude muset provést testování na aktuálním systému.

A konečně, mějte na paměti, že nepotřebujete implementovat všechny tři regulátory (proporcionální, derivační a integrální) do jediného systému, pokud to není nutné. Pokud například PI regulátor splňuje dané požadavky (například výše uvedený příklad), nemusíte v systému implementovat derivační složku. Udržujte regulátor co nejjednodušší.



S-S ERROR (Steady state error) - odchylka ustáleného stavu

$$\lim_{t \rightarrow \infty} e(t) = e_{ss} = \lim_{s \rightarrow 0} \frac{sU(s)}{1 + G(s)}$$

| CL odezva                 | $K_p$ | $K_i$ | $K_d$ |
|---------------------------|-------|-------|-------|
| Doba náběhu               | ↘     | ↘     | ↔     |
| Překmit                   | ↗     | ↗     | ↘     |
| Doba ustálení             | ↔     | ↗     | ↘     |
| Odchylka ustáleného stavu | ↘     | ↘     | 0     |

--Pseudocode--

```
motor = full speed;
```

```
while (poloha menší než očekávaná)
```

```
{}
```

```
motor = stop;
```

```
while (poloha větší nebo rovna než očekávaná)
```

```
{}
```

```
-----
```

```
--Pseudocode--
```

```
error = (cílová hodnota) - (měřená hodnota);
```

```
Kp = 0.5;
```

```
speed = Kp * error;
```

```
-----
```

```
--Pseudocode--
```

```
Kp = 0.5;
```

```
while (condition)
```

```
{
```

```
error = (cílová hodnota) - (měřená hodnota);
```

```
speed = Kp * error;
```

```
}
```

```
-----
```

integral = integral + error\*dT;

```
--Pseudocode--  
Kp = 0.5;  
Ki = 0.2;  
while (condition)  
{  
error = (target value) - (sensor reading);  
integral = integral + error;  
speed = Kp*error + Ki*integral;  
}  
-----
```

Dva potencionální problémy:

1. Co udělat když  $\text{error}=0$ ?

--Pseudocode--

```
Kp = 0.5;
```

```
Ki = 0.2;
```

```
while (condition)
```

```
{
```

```
error = (target value) - (sensor reading);
```

```
integral = integral + error;
```

```
if (error is 0) { integral = 0;}
```

```
speed = Kp*error + Ki*integral;
```

```
}
```

Dva potencionální problémy:

2. Co udělat když error je příliš velký?

1. řešení

```
if (integral is greater than or equal to the maximum  
value)  
{  
integral = maximum value;  
}
```

2. řešení

```
if ( abs(error) is greater than useful for the  
integral)  
{  
disable the integral (set the integral to 0); }
```

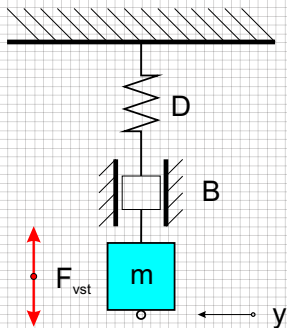
```
Kp = 0.5;  
Ki = 0.2;  
while (condition)  
{  
error = (target value) - (sensor reading);  
integral = integral + error;  
if (error = 0){ integral = 0; }  
if ( abs(error) > 40){ integral = 0; }  
speed = Kp*error + Ki*integral;  
}
```



derivative = ( (current error) – (previous error) ) / dT

```
Kp = 0.5;
Ki = 0.2;
Kd = 0.1;
while (condition)
{
error = (target value) - (sensor reading);
integral = integral + error;
if (error = 0){ integral = 0;}
if ( abs(error) > 40) { integral =0;}
derivative = error - previous error;
previous error = error;
speed = Kp*error + Ki*integral + Kd*derivative;
}
```

## Příklad: Mechanický harmonický oscilátor



$D$  ... konstanta pružiny

$y$  ... poloha

$B$  ... tlumení

$m$  ... hmotnost

$F_{vst}$  ... vstupní síla

$$F_D = Dy$$

$$F_B = Bv = B \frac{dy}{dt} = B\dot{y}$$

$$F_m = ma = m \frac{d^2y}{dt^2} = m\ddot{y}$$

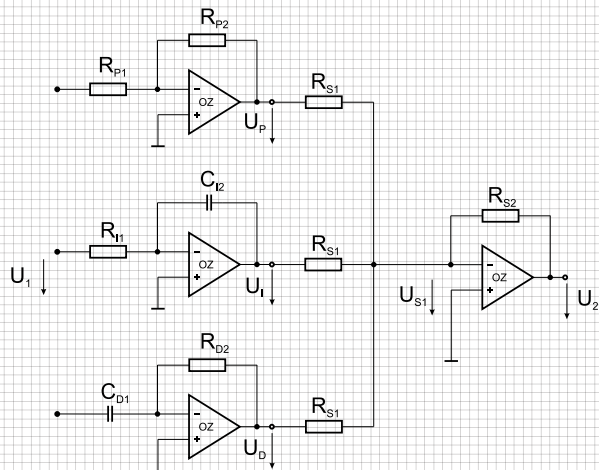
Rovnováha sil

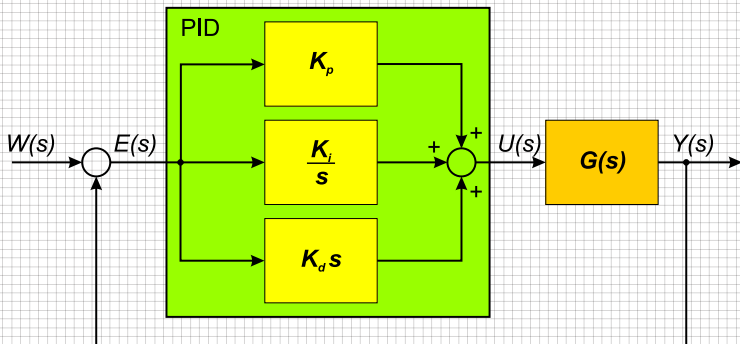
$$F_m + F_B + F_D = F_{vst}$$

$$m \frac{d^2 y}{dt^2} + B \frac{dy}{dt} + Dy = m\ddot{y}(t) + B\dot{y}(t) + Dy(t) = F_{vst}(t)$$

$$ms^2 Y(s) + bsY(s) + kY(s) = F(s) \quad \Rightarrow$$

$$G(s) = \frac{Y(s)}{F(s)} = \frac{1}{ms^2 + bs + k}$$





$$u(t) = K_p e(t) + K_i \int e(t) dt + K_d \frac{de(t)}{dt}$$

$$\frac{U(s)}{E(s)} = K_p + \frac{K_i}{s} + K_d s$$

Vzhledem k problémům při rychlé změně regulační odchylky se omezuje vliv derivační složky

$$u(t) = K_d \dot{y}(t)$$

omezením frekvenčního pásma ( $\tau_1$ ):  $\dot{y}(t) = (e(t) - y(t))/\tau_1$ .  
Obvykle se pokládá

$$\tau_1 = \frac{K_d}{NK_p} \quad N \in \langle 10, 20 \rangle$$

Potom Laplaceův obraz je

$$U(s) = K_d s Y(s) = \frac{K_d s E(s)}{(\tau_1 s + 1)}$$

potom modifikovaný přenos PID regulátoru je:

$$\frac{U(s)}{E(s)} = K_p + \frac{K_i}{s} + \frac{K_d s}{\tau_1 s + 1}$$

$$\frac{U(s)}{E(s)} = \frac{(K_p \tau_1 + K_d) s^2 + (K_p + K_i) s + K_i}{s(\tau_1 s + 1)}$$



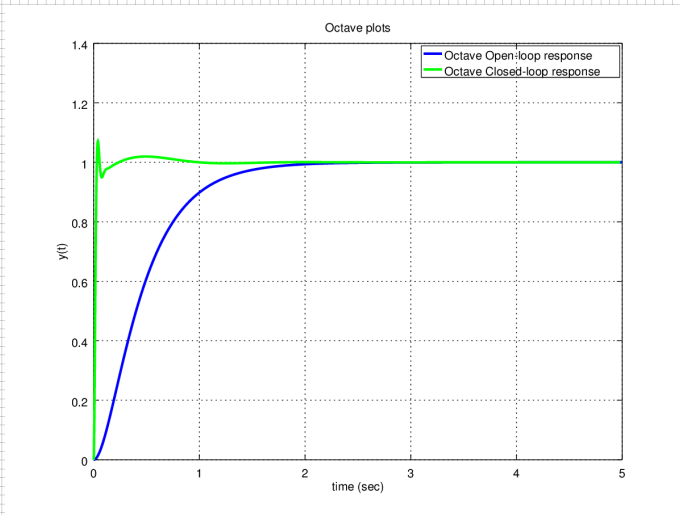
```
1
2 tic; # Measures performance using stopwatch time
3 # System parameters M = 1 kg, b = 10 N.s/m, k = 20 N/m, F(s) = 1
4 M = 1; b = 10; k = 20;
5 # System in Transfer function form:
6 num = 1;
7 den = [M b k];
8 # Modified PID controller
9 Kp = 290;
10 ti = 0.75;
11 t1 = 0.5/100;
12 N=15;
13 Ki = Kp/ti;
14 Kd = t1*N*Kp;
15 # Numerator controller
16 numc = [Kp*t1+Kd Kp+Ki*t1 Ki]/t1;
17 # Denominator controller
18 denc = [t1 1 0]/t1;
19 # Numerator Feedback system
20 num_feedback = conv(num, numc);
21 # Denominator Feedback system
22 den_feedback = conv(den, denc);
23 # Feedback system
24 den_closed_loop = den_feedback+[0 0 num_feedback];
```

# A Listings Demo 1

## Matlab

```
1 # Feedback system
2 den_closed_loop = den_feedback+[0 0 num_feedback];
3 # Output of Feedback system
4 num_y = num_feedback;
5 # Output of Open-loop system (scaled by 20 for it to be settled to 1)
6 sys_open_loop = tf(20*num, den);
7 # Output of Closed-loop system
8 sys_y = tf(num_y, den_closed_loop);
9 t = (0:.002:5)';
10 y_open_loop = step(sys_open_loop, t);
11 # y_open_loop = step(sys_open_loop, 1, 5, length(t));
12 y_closed_loop = step(sys_y, t);
13 # y_closed_loop = step(sys_y, 1, 5, length(t));
14 figure(1);
15 plot(t, y_open_loop, t, y_closed_loop);
16 grid on;
17 xlabel('time (sec)'); ylabel('y(t)');
18 # title('Matlab plots');
19 title('Octave plots');
20 # legend('Matlab Open-loop response', 'Matlab Closed-loop response');
21 legend('Octave Open-loop response', 'Octave Closed-loop response');
22 toc; # Measures performance using stopwatch time
```

# Odezva systému na jednotkový skok - přechodová charakteristika



**Obrázek:** Systém

# PLC (Programable Logic Controller)

PLC je číslicový elektronický systém vyvinutý pro realizaci řízení v průmyslovém prostředí.

## PLC zajišťuje tyto základní funkce:

- logické řízení (DI, DO, RE)
- „analogové“ řízení (AI, AO, PWM, ...)
- časovou návaznost úkonů
- interakci s obsluhou
- komunikaci s okolím (nadřízené a podřízené ŘS, ...)

## Možná kritéria dělení PLC:

- podle výkonu
- podle aplikační oblasti
- podle druhu vstupů a výstupů
- podle počtu vstupů a výstupů
- podle provedení
  - ▶ kompaktní
  - ▶ modulární

## Vlastnosti PLC:

- odolnost
- spolehlivost
- modularita
- výhodná cena HW
- cena SW (speciální jazyky)
- flexibilita
- nenáročnost na obsluhu
- škálovatelnost

## Jazyky používané pro programování PLC:

- IL - Instruction List (posloupnost instrukcí)
- LD - Ladder Diagram (kontaktní plán / liniové či reléové schéma)
- SFC - Sequential Function Chart (vývojové schéma)
- FBD - Function Block Diagram (schéma funkčních bloků)
- CFC - Continuous Function Chart (volně propojované bloky)
- ST - Structured Text (vyšší programovací jazyk - obdoba Pascalu)

<http://automatizace.hw.cz/programovaci-rezimy-pro-plc-dle-iec-611313-codesys>



Podobá se hodně assembleru.

## Výhody

- + Přesná definice chování programu
- + Paměťově i na rychlost zpracování úsporný program

## Nevýhody

- Nutnost znát nebo se alespoň dobře orientovat v příkazech a registrech
- Nutno znát hodně instrukcí
- Specifický pro jednotlivé PLC
- Mnoho psaní
- Horší přehlednost programu a orientace v něm

Vhodný pro: psaní krátkých vysoce optimalizovaných částí programu



Vychází z grafické podoby projektování releových obvodů

## Výhody

- + Jasně definovaná posloupnost zápisu, kterou nelze porušit
- + Přehlednost zápisu (zvláště u menších programů)
- + Velmi rychlé programování logických operací s funkcemi čítání a časování
- + Ideální pro zpracování velkého počtu logických signálů (vstupů a výstupů)

## Nevýhody

- Méně vhodný pro aritmetické operace a práce s daty (ASCII znaky)
- S rostoucí složitostí programu rychle narůstá jeho délka
- Hůře pochopitelný pro „klasické programátory“

Vhodný pro: realizaci logických řídicích sekcí a sekvencí programu a zpracování vstupních a výstupních signálů

CoDeSys - example.pro - [LD\_EXAMPLE (PRG-LD)]

File Edit Project Insert Extras Online Window Help

100%

PROGRAM LD\_EXAMPLE

0001 730  
0002  
0003 Expired: TMR:  
0004 Times: TCR:  
0005 EXD\_130

0001  
Setting all switches in the right way turns on Lamp1

0002  
Setting all switches in the right way turns on lamp2 after 5 seconds

Loading library 'C:\Program Files\Siemens Software\CoDeSys V2.5\Library\STANDARD.LIB'

ONLINE [OV] [READ]

Obrázek: IL

Jazyk velmi podobný třeba jazyku Pascal

### Výhody

- + Snadné programování složitých aritmetických operací a vzorců
- + Ideální pro složité zpracování analogových signálů
- + Ideální pro práci s velkými bloky dat a databázemi
- + Vhodný pro práci s textovými řetězci
- + Vhodný pro realizaci / zpracování datové komunikace

### Nevýhody

- Je nutné znát příkazy a přesnou syntaxi zápisu
- Horší přehlednost zápisu logických operací
- Méně vhodný pro přehledné zpracování velkého množství logických signálů (vstupů / výstupů)

Vhodný pro: klasické programátory, realizaci složitých algoritmů a práci s daty a řetězci

CoDeSys - example.pro - [ST\_EXAMPLE (PRG-ST)]

File Edit Project Insert Extras Online Window Help

POUs

- Beispiel Ordner
  - CFC\_EXAMPLE (PRG)
  - FBD\_EXAMPLE (FUN)
  - IL\_EXAMPLE (FB)
  - LD\_EXAMPLE (PRG)
  - SFC\_EXAMPLE (PRG)
  - SlowTask (PRG)
  - ST\_EXAMPLE (PRG)**

```

0001 PROGRAM ST_EXAMPLE
0002 VAR
0003   xVal:INT := 0;
0004   yVal:INT := -250;
0005
0006   <
0007
0008 run_string:="Start";
0009 IF NOT run THEN
0010   RETURN;
0011 END_IF;
0012 run_string:="Stop";
0013
0014 var := var + offset;
0015
0016 IF (yVal < 0) THEN
0017   yVal := yVal + offset;
0018   button := yVal + offset;
0019 ELSE
0020   IF (xVal < 470) THEN
0021     xVal := xVal+offset;
0022   END_IF;
0023   IF (button > -250) THEN
0024     button := button -offset;
0025   END_IF;
0026 END_IF;
0027
0028 i := 0;
0029
0030 IF xVal >= 470 THEN
0031   wait := wait +1;
0032   IF (wait >= 10 AND wait <= 20) THEN
0033     inv := FALSE;
0034     inv2 := TRUE;
0035   ELSE
0036     inv := TRUE;
0037     inv2 := FALSE;
0038   END_IF;
0039   --...
0040
0041   <

```

Loading library 'C:\Program Files\Siemens\Software\CoDeSys V2.5\Library\STANDARD.LIB'

!!!

Lin: 1, Col: 1 ONLINE [OV] [READ]

Obrázek: ST

Zápis programu v programovacím režimu CFC je naopak ideální pro toho, kdo vyznává skládání programu z jednotlivých „krabiček“ vzájemně propojených přes vývody. Tedy něco pro elektrokonstruktéry, kteří jsou zvyklí vytvářet klasická schémata zapojení součástek. Zde je právě prostě jen plocha, na kterou se postupně vkládají a propojují jednotlivé funkce v podobě „součástek“ s danými vlastnostmi.

## Výhody

- + Volné uspořádání programu dle potřeby programátora
- + Zápis připomíná hardwarové schéma zapojení součástek
- + Snadná realizace jednoduchého zpracování analogových signálů
- + Přehledný průchod signálu strukturou programu při zpracování
- + Přehledná realizace zpětných vazeb

## Nevýhody

- Pro složitější programy se zápis stává nepřehledný
- Méně vhodný pro zpracování velkého množství logických signálů (vstupů / výstupů)
- Nevhodný pro realizaci manipulace s většími bloky dat a ASCII řetězci
- Nevhodný pro realizaci datové komunikaci

Vhodný pro: části programu zpracovávající analogově-digitální signály



CoDeSys - example.pro - [CFC\_EXAMPLE (PRG-CFC)]

File Edit Project Insert Extras Online Window Help

100 %

POUs

- Beispiel Ordner
  - CFC\_EXAMPLE (PRG)
  - FBD\_EXAMPLE (FUN)
  - IL\_EXAMPLE (FB)
  - LD\_EXAMPLE (PRG)
  - SFC\_EXAMPLE (PRG)
  - SlowTask (PRG)
  - ST\_EXAMPLE (PRG)

```

0001 PROGRAM CFC_EXAMPLE
0002 VAR
0003     FD_Regler: FC;
0004     PID_Regler: PI;
0005 END_VAR

```

! Rückkopplungen sind möglich !

FD\_Regler

ACTUAL 100  
SET\_POINT 0.01  
KP 2  
TV 2  
LIMITS\_ACTIVE

PID\_Regler

ACTUAL 100  
SET\_POINT 0.3  
KP 100  
TV 25  
LIMITS\_ACTIVE  
OVERFLOW

Loading library 'C:/Program Files/3S Software/CoDeSys V2.5/Library/STANDARD.LIB'

!!!

[ONLINE] [OV] [READ]

Obrázek: CFC

V principu podobný CFC

## Výhody

- + Definované grafické členění programu do řádků
- + Logické operace v podobě hradel
- + Přehledný zápis programu
- + Ideální pro zpracování velkého počtu logických signálů (vstupů / výstupů)

## Nevýhody

- Méně vhodný pro složitější zpracování analogových signálů
- Nevhodný pro hromadnou manipulaci s velkým množstvím dat a ASCII znaky (řetězci)
- Nevhodný pro programování složitých algoritmů (vzorců)

Vhodný pro: realizaci logických řídicích sekcí programu a zpracování vstupních a výstupních signálů

The screenshot shows the CoDeSys software interface for editing a function block diagram (FBD). The window title is "CoDeSys - example.pro - [FBD\_EXAMPLE (FUN-FBD)]". The menu bar includes "File", "Edit", "Project", "Insert", "Extras", "Online", "Window", and "Help". The toolbar contains various icons for file operations and editing. The project tree on the left shows a hierarchy of POUs, with "FBD\_EXAMPLE (FUN)" selected.

The main workspace is divided into two sections. The top section contains the following code:

```

0001 FUNCTION FBD_EXAMPLE:BOOL
0002
0003 .....
0004 Example for a function written in FBD
0005 .....
0006 VAR_INPUT
0007

```

The diagram below the code shows three input variables: Var1 (10), Var2 (20), and Var3 (20). Var1 is connected to an AND gate, which is also connected to an OR gate. Var2 is connected to an AND gate, which is also connected to an OR gate. Var3 is connected to an AND gate, which is also connected to an OR gate. The output of the OR gate is labeled FBD\_EXAMPLE.

The bottom section of the workspace contains a multi-line comment:

```

0002 Label15:
0003 Example for a multi line comment:
0004 2.line

```

Below the comment is another diagram showing three input variables: VAR1, VAR2, and VAR3. VAR1 and VAR2 are connected to an AND gate, which is also connected to an OR gate. VAR3 is connected to an AND gate, which is also connected to an OR gate. The output of the OR gate is labeled b1.

The status bar at the bottom right shows "ONLINE" and "READ".

Obrázek: FBD

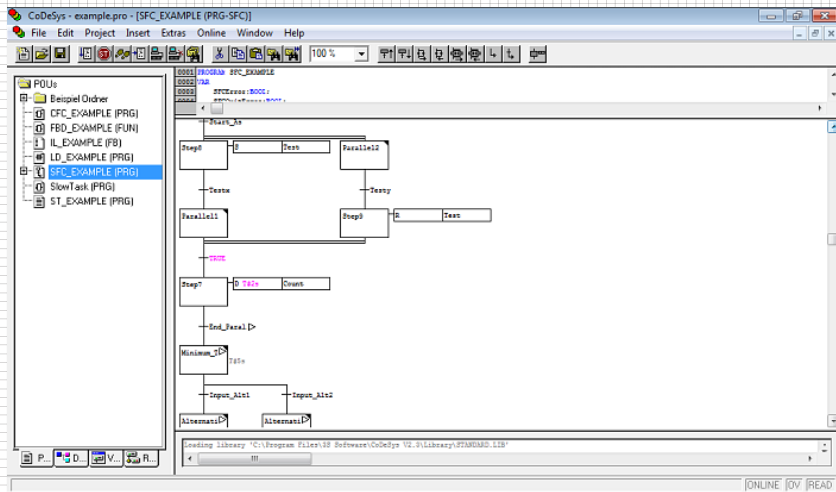
## Výhody

- + Velmi přehledný zápis chování programu
- + Přehledné definování a ošetření různých stavů programu
- + Ideální pro realizaci sekvenční logiky
- + Vhodný pro jednoduchou práci s ASCII řetězci

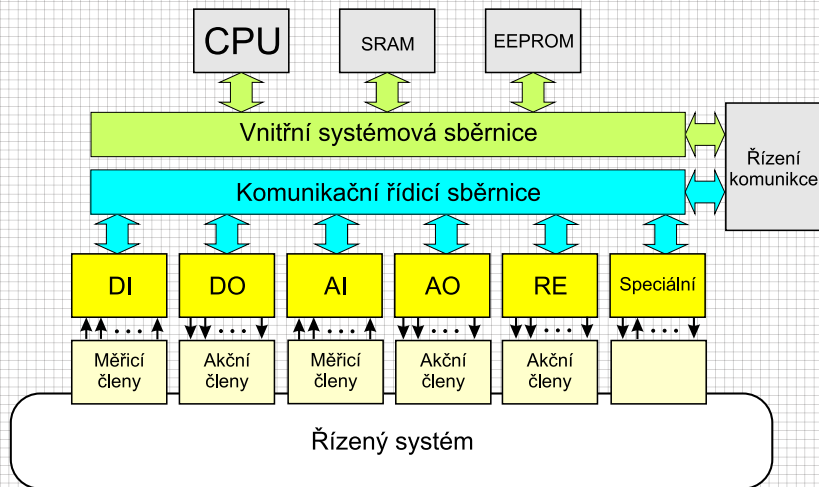
## Nevýhody

- Nevhodný pro přímou realizaci zpracování analogových signálů
- Nevhodný pro zpracování velkého počtu logických signálů
- Nevhodný pro programování složitých algoritmů

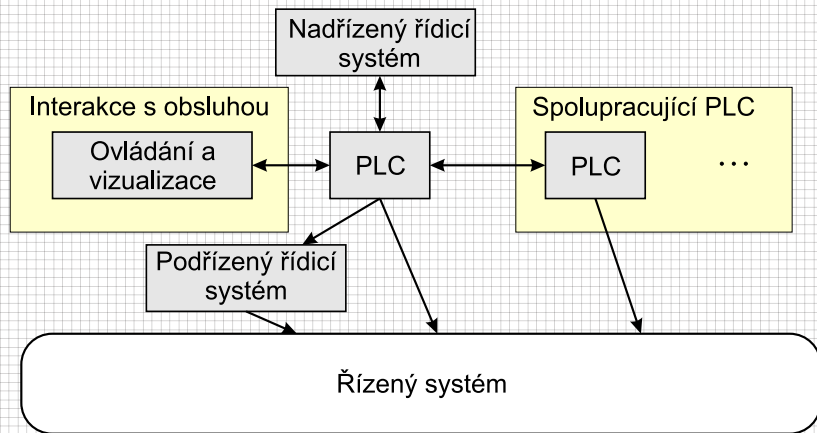
Vhodný pro: vytváření páteřní (hlavní) větve programu, odkud se volají podprogramy



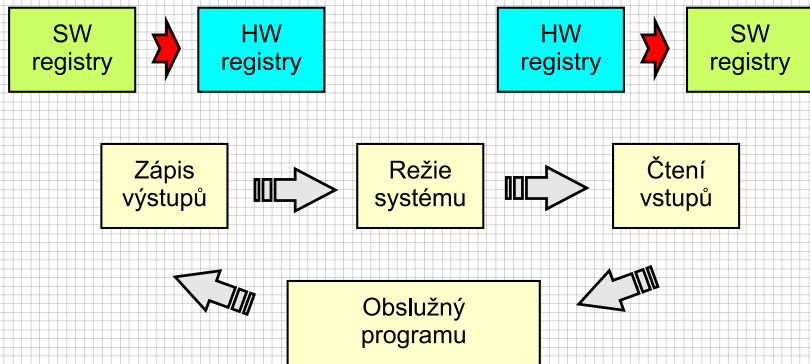
Obrázek: SFC



**Obrázek:** Blokové schéma PLC



**Obrázek:** PLC - zapojení do řídicího procesu



**Obrázek:** Cyklus zpracování SW v PLC

Pro program PLC je typické, že nepracuje s aktuálními hodnotami vstupů a výstupů, ale s jejich obrazy uloženými v zápisníkové paměti



## Regulace na konstantní hodnotu

Regulace při  $w = konst.$  Příklad: žehlička.

## Regulace programová

Regulace při  $w = f(t)$ . Požadovanou veličinu  $w$  měníme v čase podle programu. Příklad: vypalování keramiky.

## Regulace vlečná

Regulace při  $w = f(q)$ . Požadovanou veličinu  $w$  měníme v závislosti na jiné fyzikální veličině. Příklad: vytápění domu.

## Regulace spojitá

Regulace při níž se signály mění spojitě v čase. Příklad: PID regulace.

## Regulace nespojitá

Regulace diskrétní v čase, hodnotě. Příklad: žehlička.

## Fuzzy

Fuzzy v angličtině znamená nezřetelný, mlhavý, neurčitý, neurčitý.

## Fuzzy množina

Množina s nezřetelnou (neurčitou) hranicí. Rozumí se tím, že u některých prvků takovéto množiny je příslušnost k množině neurčitá nebo nejednoznačná. Příklad: zdravý a nemocný člověk.

Stavební prvky logického řízení:

relé

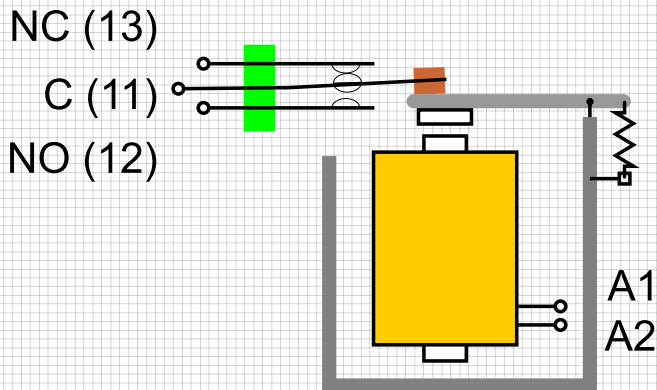
stykače

tlačítka

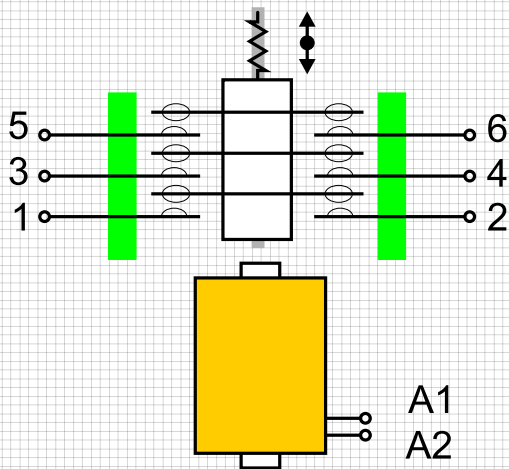
přepínače

časové relé

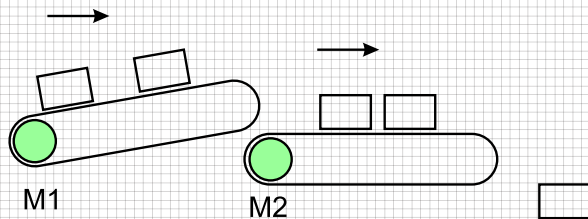
SSR



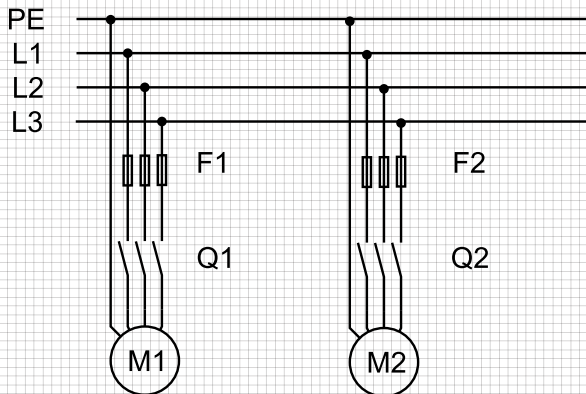
**Obrázek:** Princip a označení kontaktů



**Obrázek:** Princip a označení kontaktů

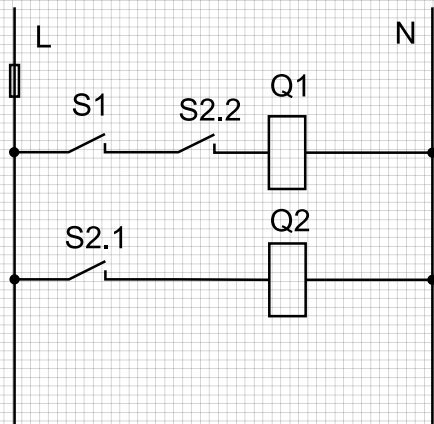


**Obrázek:** Ilustrativní příklad



**Obrázek:** Zapojení výkonové





**Obrázek:** Zapojení řízení

## Bionic

Kooperativní robot:

<https://youtu.be/54u3H69tcgM>

Různé typy robotů:

<https://www.youtube.com/watch?v=7-JvyzOddTM>

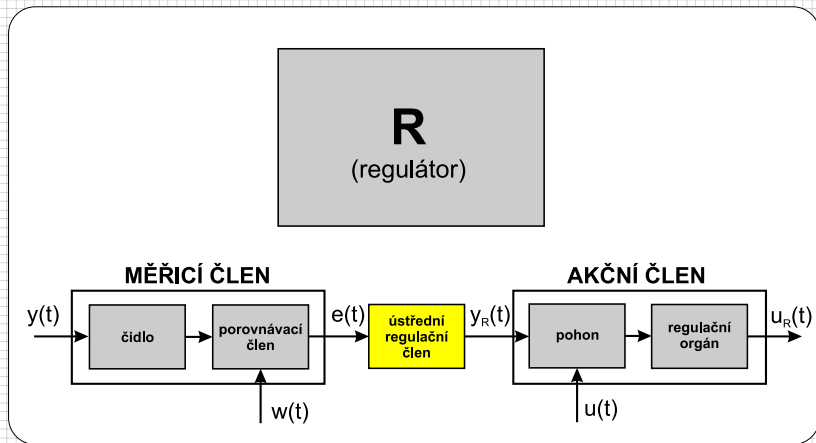
Pavouk:

<https://www.youtube.com/watch?v=jGP5NxcCvjE>

## Sběrnice

- RS 232, RS 485, ProfiBus
- Ethernet
- I<sup>2</sup>C, SPI, 1-wire

# Části zpětnovazebního obvodu



**Obrázek:** Části regulačního obvodu

Řízení úzce souvisí s pochopením kauzálních - příčinných vztahů, které jsou charakteristické pro činnost (fungování) dotyčného systému (objektu). Pro správně navržené řízení daného systému je nezbytné správné pochopení kauzálních vztahů mezi jednotlivými částmi tohoto systému a také našich řídicích zásahů.

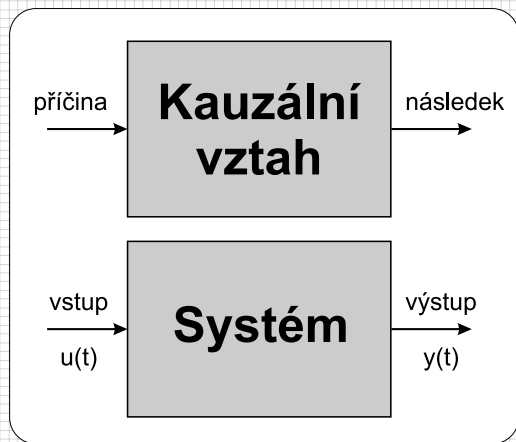
Tyto vztahy nazveme jako kauzální (orientovaná) relace.

## Kauzalita

příčina  $\rightarrow$  následek

Šipkou je vyznačen neměnný „směr (orientace)“ závislosti. Směr nelze obecně otočit.

Graficky znázorňujeme kauzální relaci následovně:



**Obrázek:** Kauzalita

## Rozbor

V praxi bývají systémy spojené z mnoha podsystémů. Bloková algebra je soubor pravidel pro určení výsledného popisu systému na základě znalosti popisů jednotlivých podsystémů (vnitřních či vnějších).

## Podmínky použití

Pro použití blokové algebry musí být splněny následující podmínky

- všechny členy v systému jsou lineární - platí princip superpozice
- signál se šíří pouze jedním směrem - vstupy neovlivňují zpětně výstupy (vysoký vstupní a nízký výstupní odpor)





## K čemu je to dobré

Znalost blokové algebry umožňuje zjednodušovat složitá bloková schémata a stanovit výsledný přenos zapojení.

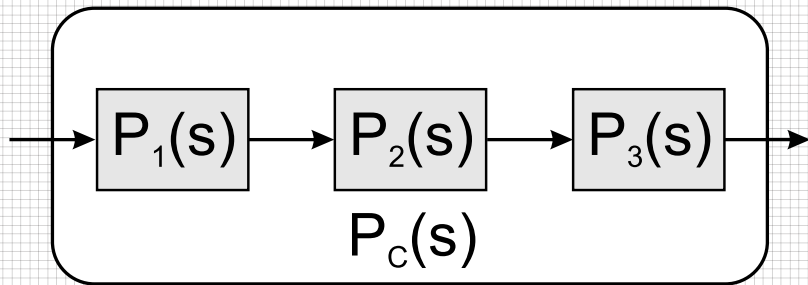
Zjednodušovat je nejlépe tak, že uvnitř blokového schématu hledáme některé z uvedených základních zapojení a postupně nahrazujeme tato zapojení jediným členem. [Švarc, I. 1992]

## Základní zapojení

- Sériové
- Paralelní
- Zpětnovazební (antiparalelní)

Předpoklady:

$$P_C(s) = P_C$$

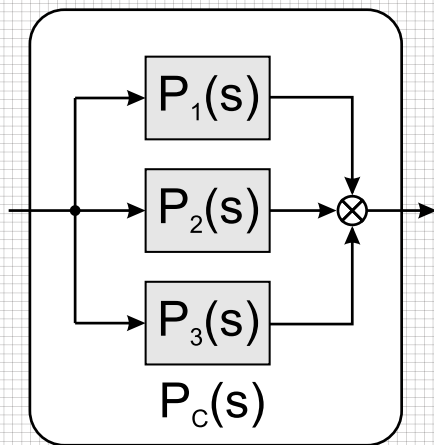


**Obrázek:** Sériové spojení

$$P_C(s) = P_3(s) \cdot P_2(s) \cdot P_1(s)$$

$$P_C(s) = P_3(s) \cdot P_2(s) \cdot P_1(s)$$

$$P_C(s) = \prod_{i=1}^n P_i$$

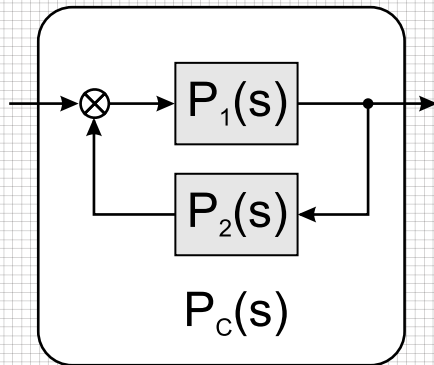


**Obrázek:** Paralelní spojení

$$P_C(s) = P_3(s) + P_2(s) + P_1(s)$$

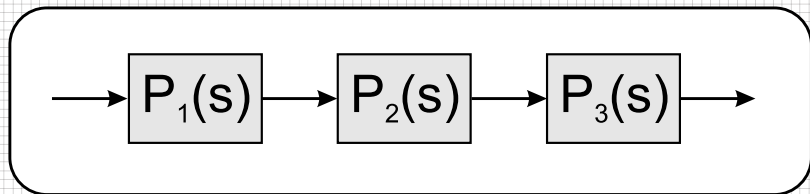
$$P_C(s) = P_3(s) + P_2(s) + P_1(s)$$

$$P_C(s) = \sum_{i=1}^n P_i$$



**Obrázek:** Antiparalelní (zpětnovazební) spojení

$$P_C(s) = \frac{P_1(s)}{1 \mp P_1(s) \cdot P_2(s)}$$



**Obrázek:** Sériové spojení

Přímá větev je jakákoliv posloupnost větví ze vstupu na výstup ve směru šipek, která neprochází žádným uzlem více než jednou. Přenos přímé větve je součin přenosů všech větví, které jsou obsaženy v dané přímé větvi. Přenos budeme označovat  $V_i$ , kde  $i$  je index přímé větve.

Smyčka je jakákoliv uzavřená posloupnost větví ve směru šipek, která neprochází žádným uzlem více než jednou.

Přenos smyčky je součin přenosů všech větví obsažených ve smyčce. Říkáme, že se dvě smyčky dotýkají, pokud mají nějaký společný uzel. Jinak říkáme, že se nedotýkají. Stejně tak je to s dotýkáním či nedotýkáním u přímých větví.



In this slide, some important text will be **highlighted** because it's important. Please, don't abuse it.

### Remark

Sample text

### Important theorem

Sample text in red box

### Examples

Sample text in green box. "Examples" is fixed as block title.